

アサリを対象とした生物生息地適性評価モデル

新保裕美*・田中昌宏**・池谷毅***・越川義功****

1. はじめに

廃棄物処分場や下水処理場等の早期建設は社会的緊急課題であり、そのため、沿岸の埋立てが全国各地で計画されているが、自然保護の観点から反対が強く、社会的に深刻な問題になっている。その解決策のひとつとして人工干潟の創造が提案されている。しかし、生物の多様性を長期的に維持できる干潟の創造技術が十分確立していないため、開発の代償のための干潟創造は社会的に受け入れられにくい状況にある。

そこで本研究では、干潟が具备すべき特性を工学的な見地から明らかにし、その環境価値を一般市民にも理解しやすい形に表現すると同時に、人工干潟の設計・施工技術を確立するため、日本の干潟の代表的な生物であるアサリを対象に、干潟域の生息地としての適性を量定化するモデル(アサリ生息地適性評価モデル)の開発を行った。本モデルは、米国で開発された HEP(Habitat Evaluation Procedures (Division of Ecological Services ら, 1980))をベースにしているが、本研究ではその枠組みを越える改良を行った。

2. HEP の概要

HEP は、米国において開発事業の影響評価と計画に用いるために開発された、生物生息地適性評価手法である。対象地域の生息地単位 (HU) は、ユニット毎に対象生物の生息地としての適性 (HSI) を評価し、それに面積を乗じた値を合計して算出する。評価が最終的にひとつの数字 HU で表されることから、HSI と対象生物の生息量が線形な関係であれば、生息量を予測し、ミティゲーションに必要な代替面積を決定することができる。

オリジナル版 HEP には、詳しいマニュアルがあり、HSI モデルの作成方法が定められている。その方法は、まず、生息に影響を及ぼす環境因子を洗い出し、各因子について生息環境の点数化 (SI モデルの作成) を行う。これを「生物の棲みやすさ指標 (SI)」と呼び、さらにこ

れらを総合化して一つの数値 HSI を求める。SI モデルは、科学的知見や現地観測に基づき作成する。

3. モデルの作成

本研究では、まず HEP のマニュアルを参考にアサリの SI モデルを作成した。この際、既往の文献データでは不十分であったため、現地観測を行っている。

(1) 現地観測の概要 (新保ら, 1999)

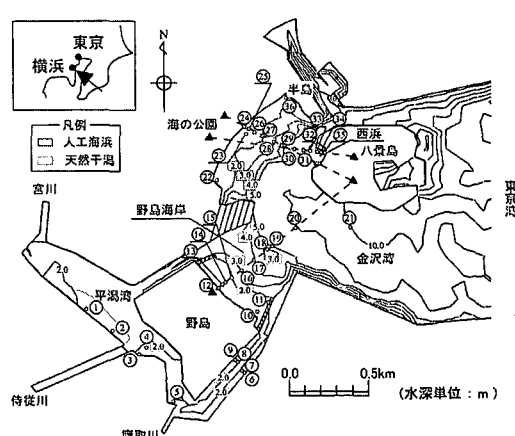
調査は、1998 年の秋、冬及び 1999 年の夏の 3 回、アサリが複数の環境の異なる干潟で生息する神奈川県金沢八景海域で行った (図-1)。その結果、アサリの生息量を支配する環境因子として表-1 に示す因子が重要であることが明らかとなった。そこで、これらの因子について HEP アサリモデルを作成した。

なお、潮干狩り等の影響を極力低減するため、個体数に関する解析は殻長 2 cm 未満のアサリを対象とした。

(2) SI モデルの作成指針と SI モデル

SI は、各環境因子について生物の棲み易さを数値化した指標であり、0.0~1.0 の数字で表す。生息不可能な条件は 0.0、最適な生息条件は 1.0 とする。

SI モデルの作成方法を、図-2 に示す中央粒径の SI モデルを例に説明する。まず、各観測点における中央粒径とアサリ個体数をプロットする。個体数が最大である地点の中央粒径 0.25 mm が最適な粒径であるとして SI を



表一 アサリの環境因子とその選択理由

環境因子	選択理由
中央粒径	人工海浜の材料選定の目安となる
泥分率	
強熱減量	
酸化還元電位	アサリの個となり、且つ海水の酸素消費に影響を及ぼす有機物の含有量の指標となる
水質	アサリに有害な硫化物の生成に影響
水温	アサリの成長や生残に影響
塩分	アサリの幼生変態や生残に影響
干出時間	アサリへの餌供給や夏期の地温上昇に影響

1.0とし、アサリが生息していない粒径のSIを0.0とする。さらにこのSI曲線に一般性をもたせるため、既往の知見を(表一参考)勘案して、最適な範囲や制限となる境界線を修正する。なおこの例では、最適な粒径0.25 mmでもアサリが生息していない点もあるが、これらの点は、中央粒径以外の環境因子に制限されているものと考える。この点はHEPの重要な考え方の一つであり、各指標の満点はその海域での生息許容量と考える。

以下、図-3~8に示す他のSIモデルも同方法で作成した。図には最大個体数で基準化した個体数を併記した。

a) 底質のSIモデル

中央粒径のSIの決定方法を、さらに詳しく述べる。観測の結果、金沢八景海域では、個体数は、粒径0.25 mmで極大であり、粒径が小さくなる程減少していた。飼育実験でも同じ傾向が指摘されている(高橋ら、1986)ことから、粒径約0.2 mm以下では、粒径が小さくなる程死亡率が高くなり、生息量が減少するものと判断される。生息の粒径下限は、金沢八景海域では粒径0.073 mmであったが、各飼育実験により粒径0.062 mmでも生残できることが判明しているため、粒径の下限値は、粘土となる0.05 mmとし、SIを0.0とした。また、粒径0.2 mmではSI=1.0、粒径0.2 mm~1.0 mmではSI=1.0、潜砂時間が長くなり、生息に障害が生じると考えられる粒径4.2 mmではSI=0.0とし、SI曲線は、それらの間を線形に補間した。

図-3に、底質の泥分(粒径0.073 mm以下)率のSIを示す。金沢八景海域では、個体数は泥分率約20%で極大であり、泥分率の増加に伴い減少していた。山口・大海湾(井上、1980)及び朝鮮半島(倉茂、1957)での泥分率と生息量との関係を勘案すると、泥分率約30~50%間に生息限界があるようである。そこでSI曲線は、泥分率0~30%でSI=1.0、泥分率50%でSI=0.0とし、その間は線形に補間した。

図-4に、底質の強熱減量のSIを示す。金沢八景海域では、強熱減量約0.5~9%の範囲にアサリが生息し、個体数は3.5%で極大であった。これと三番瀬(千葉県、1998)を比較すると、生息範囲と極大値は、厳密ではないが概ね一致していた。そこでSI曲線は、強熱減量2%

表二 既往の知見の参考内容

環境因子	著者	参考内容
底質	中央粒径 高橋ら (1986)	アサリの生存実験の結果、死亡率は、中央粒径0.25 mmでは0%，0.070 mmでは85%，0.062 mmでは45%。 アサリの潜砂実験の結果、中央粒径4.2 mmでは潜砂時間が長期化、これより小さい粒径の必要あり。
	泥分率 井上 (1980) 倉茂 (1957)	山口・大海湾において、泥分率が30%以上でアサリ定着量が激減。 全群の主要なアサリ生息地約60箇所での調査結果、泥分率2~50%の範囲で生息。
強熱減量 Eh 高橋ら (1986)	千葉県 (1998)	千葉県三番瀬において3年間の四季平均値でみると、強熱減量の1.5~8%の範囲でアサリが生息、アサリ個体数は約2%で極大。
	H ₂ S濃度 Eh 高橋ら (1986)	H ₂ S濃度とEh値を変えて種々の還元状態にした底土で飼育した結果、アサリの生息下限値はEh=130~-150 mV。
水温 (社)全国沿岸漁業振興開発協会 (1997)	倉茂 (1957)	高水温については、徐々に水温を耐え難い状況で、43°Cでは生息に影響なく、45°Cで100%死滅。低温については、約-2°Cでもほとんど死滅せず。
	(社)全国沿岸漁業振興開発協会 (1997)	・若底稚貝の時期は高水温への耐性が極めて弱く、水温35~36°Cでは5時間で死に始め、15時間で100%死滅、40°Cでは1時間で100%死滅(池松ら、1956)。 ・幼生は12~30°Cの範囲で正常に発生し、9~30°Cの範囲では水温が高いほど成長速度が速い(鳥羽ら、1992)。 ・潮水温が最大になるのは28°C前後(秋山、1985)。 ・散索消費量は20~25°Cが最大(海老原ら、1967)。 ・認識の稚毛迎潮は23°C台が最大(浮多村、1937)。
塩分 柿野ら (1995)	(社)全国沿岸漁業振興開発協会 (1997)	・通常の海水(塩分約35‰)がアサリ生息を制限する要因はならず、塩分約39‰でも長時間の飼育でわずかに死滅する程度(倉茂、1942)であるが、塩分濃度20‰前後に境界があり、これよりも低塩分になるほど、また小型個体ほど、影響が多くの出現。 ・浮遊幼生は塩分15‰以下では変態まで遅れる個体はなく、正常な発生のためには20‰以上の塩分が必要である(Robinson and Breese, 1984)。 しかし、20‰であっても、水温によっては成長が悪化することがあり、安定した成長・生残を期待するには25‰以上の塩分が望ましい。
	柿野ら (1995)	5月の実験では、成貝では塩分6.5‰では生残率0%，13‰では65%，16.5‰では85%，19.5‰では90%、32.5で95%。実験に用いたアサリは若干肥満度が低く、活性が弱まっていたと思われるが、20‰以下で生残率は減少傾向。
干出時間 千葉県 (1998)	千葉県三番瀬において、3年間の四季平均値でみると、干出時間帯と潮下帯では、潮下帯の方がアサリ個体数多數。	
	井上 (1980)	段長2 mmまでの沈着期のアサリの分布状況と地盤高からみて、大潮時平均干出時間5~5.5時間以上では沈着率は減少する傾向がみられたが、それ以下では明らかな傾向はみられなかった。段長15 mmまでの稚貝の分布状況と地盤高からみた定着条件としては4.5時間以下であり、成長度からみれば3.5時間以下が好適と考察。
底面摩擦速度(計算値) 千葉県 (1998)	千葉県 (1998)	全月で発生する程度の波高及びそれに応対する周期の入射波条件での波浪解折の結果と、千葉県三番瀬におけるアサリ生息量とを比較すると、波浪による底面摩擦速度が約1~6/sの範囲でアサリが生息。アサリ個体数は、約4 cm/sで極九。
	柿野ら (1991)	荒天時の波浪条件での波浪解折の結果と盤洲干潟におけるアサリ生息量と比較すると、段長20 cm未満のアサリ個体数は、波浪による底面摩擦速度の3~4 cm/sで極大。

~5%でSI=1.0、0.5%でSI=0.0、9%でSI=0.0とし、これらの間は線形に補間した。

図-5に、底質の酸化還元電位(Eh)のSIを示す。金沢八景海域では、個体数はEh約-100 mVで極大であり、-300 mVの地点でも生存していた。飼育実験における

るアサリ生息の下限値は $-130\sim-150$ mVと指摘されている(高橋ら, 1986)が、金沢八景では -300 mVでも生息していたことから、 -300 mVでSI=0.0とした。最適なEh(SI=1.0)は、金沢八景海域で個体数が極大であった -100 mV以上とした。SI曲線は、これらの間を線形に補間した。

b) 水質のSI

図-6に水温のSIを示す。水温は、秋の調査では $21\sim23^{\circ}\text{C}$ 、冬は $10\sim14^{\circ}\text{C}$ の範囲にあった。秋には水温がアサリの生息環境の支配因子にはなっていないものの、冬については、概ね水温の上昇に伴い個体数にも増加傾向がみられた。飼育実験では、水温上昇に伴いアサリの成長速度が速くなり、 20°C 台で最もアサリの活性が高くなる((社)全国沿岸漁業振興開発協会:以下、協会と記す, 1997)。倉茂(1957)の飼育実験において -2°C でもほとんど斃死しないことから、海水が凍結する -3°C を低水温の生息限界(SI=0.0)とした。高水温については、着底稚貝が死に始めた 35°C (協会, 1997)を生息限界(SI=0.0)とした。 $20^{\circ}\text{C}\sim30^{\circ}\text{C}$ でのSIを1.0とし、SI曲線はそれらの間を線形に補間した。

図-7に、塩分のSIを示す。塩分も水温と同様、秋と冬ではその範囲が異なっており、秋は $14\sim32$ 、冬は $26\sim34$ であった。アサリの生息環境としては塩分が低い方が問題である。そこで秋のデータをみると、全体的に塩分の増加に伴いアサリ個体数も増加していた。他の因子が影響するので明確ではないが、塩分が $10\sim20$ の間に生息限界があるようである。従って、塩分の下限値(SI=0.0)は、浮遊幼生が変態可能となる、 15 (協会, 1997)とした。塩分の最適値(SI=1.0)は浮遊幼生が正常に変態でき、成体の生残にも影響しない $25\sim35\%$ とした(協会, 1997)。SI曲線は、 $15\sim25$ の間は $\text{SI} = ((\text{塩分}-15) \times 0.1)^{0.5}$ の式で補間した。

ただし、水質は、時・日変動が大きく、また、低塩分、低・高水温の持続時間が短いとアサリに対する影響は小さい。従って、評価に用いる値は、連続的かつ長期データに基づき決定することが望ましいと考えられる。

c) 干出時間のSI

図-8に、干出時間のSIを示す。金沢八景海域では、干出時間約4.3時間以下の地盤高で個体数が多くいた。山口・大海湾では、定着条件としては4.5時間以下、成長度からみれば3.5時間以下が好適と考えられている(井上, 1980)。井上の知見を踏まえ、金沢八景海域のデータを外挿するよう、3.5時間以下を最適(SI=1.0)、4.7時間でのSI=0.0とした。SI曲線はこれらの間を線形に補間した。

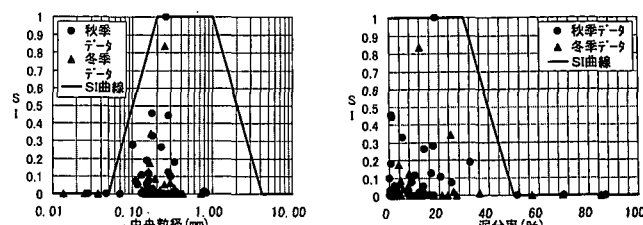


図-2 中央粒径のSI

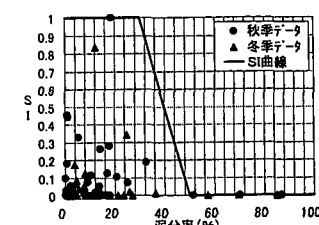


図-3 泥分率のSI

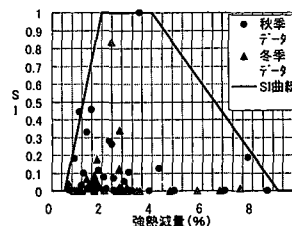


図-4 強熱減量のSI

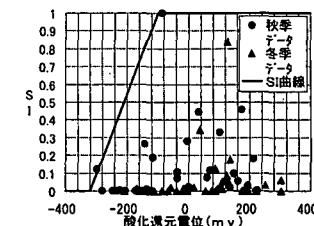


図-5 酸化還元電位のSI

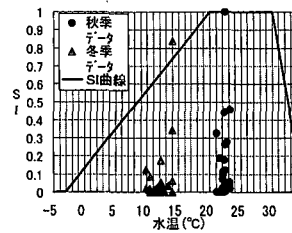


図-6 水温のSI

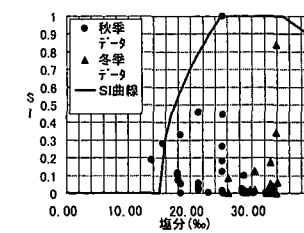


図-7 塩分のSI

(3) HSI モデル

HSIは、各SIによって評価された環境因子を総合化し、地域の生息地としての適性を数値化した指標であり、 $0.0\sim1.0$ の数字で表す。

総合化の方法は、各環境因子の相互の関係が、制限因子であるか、累積関係にあるか等を考慮して決定する。本モデルでは、底質間には相関関係があるため、底質SIは、底質項目のSIの最小値とした。水温と塩分はそれらの組合せによりアサリ生息への影響の度合いが異なるため、水質SIは、水温と塩分のSIの積とした。最終的にHSIは、底質、水質、干出時間の相乗効果があるものと考え、次式の様にこれらSIの積とした。

$$\begin{aligned} \text{HSI} &= \text{底質 SI (中央粒径, 泥分率, 強熱減量, 酸化還元電位の SI の最小値)} \\ &\times \text{水質 SI (水温と塩分の SI の積)} \\ &\times \text{干出時間 SI} \end{aligned} \quad (1)$$

(4) HSI モデルの金沢八景海域への適用

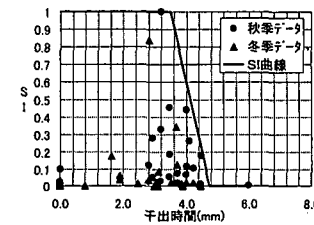
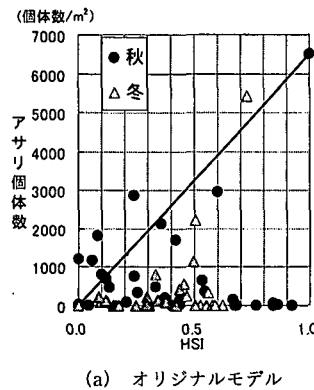
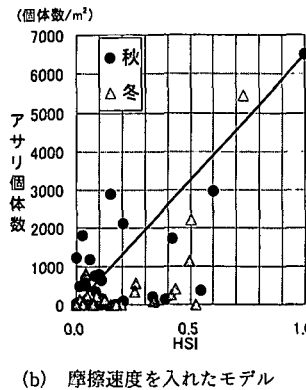


図-8 干出時間のSI



(a) オリジナルモデル



(b) 摩擦速度を入れたモデル

図-9 HSIとアサリの個体数の関係

開発した HSI モデルを、金沢八景海域に適用した。図-9(a) に、HSI と実測個体数との関係を示す。これを見ると、秋冬とともに、HSI が高いが個体数が少ない点がかなりあり、HEP モデルとしては不十分である。

そこで、これらの点が海域のどのような点に位置するのかを見てみる

と、特に潮下帯に多く、平潟湾内や野島の南側水路内にもあることがわかった。潮下帯は潮間帯に比べて底質への波の作用が小さく、平潟湾内や野島南側水路は地形的な特性から波が弱い。そこで、HSI が高いが個体数が少ない点の原因が、波浪にあるのではないかと考えた。

4. モデルの改良

上記の結果から、波浪の影響を HEP に導入する事を試みた。アサリの生息環境に及ぼす波浪の影響は、底質粒径を決定するだけでなく、さらに定位、底質攪乱及び餌供給等、直接的な影響が多く考えられる。

そこで、金沢八景海域を対象に、波浪を数値解析し、その結果からアサリの波浪 SI モデルを作成した。

(1) 波浪解析

波浪解析には、オランダ・デルフト水理研究所の Delft 3D-WAVE (1997) を使用した。計算条件は、現地観測時の波浪を再現することを目的に条件設定した。計算条件を表-3 に示す。

(2) 底面摩擦速度 SI モデルと HSI モデルの改良

図-10 に、波の底面摩擦速度（以下 u_* と記す）の SI を示す。図には最大個体数で基準化した個体数も併記している。ここで u_* は、各計測点における風向毎の u_* の内、最大値を用いた。なお、 u_* は、潮間帯については低潮位での汀線での値であり、潮下帯については吹送時の潮位（南西風：低潮位、北・東風：平均潮位）での値である。これより、 u_* が約 4 cm/s のとき個体数が極大

表-3 波浪の計算条件

風	南西 13.7 m/s、北 13.1 m/s、東 7.6 m/s (気象庁「SDP-横浜気象台の地上気象観測データ、1994~1998」による)
潮位	平均潮位 0.0 m、低潮位 -1.1 m
底面摩擦係数	0.01

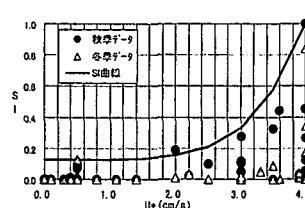


図-10 底面摩擦速度の SI

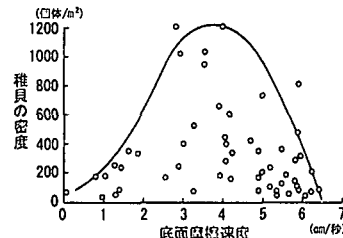


図-11 東京湾盤洲の底面摩擦速とアサリ稚貝密度の関係 (柿野ら、1991)

である。これより、 u_* が約 4 cm/s のとき個体数が極大であることがわかる。図-11 に示すように、盤洲干潟においても u_* が約 4 cm/s のとき個体数が極大であり、それ以上大きくて小さくても個体数は減少していた (柿野ら、1991)。また、この関係は三番瀬も同様であった (千葉県、1998)。この $u_*=4 \text{ cm/s}$ は、柿野らが指摘するよう、アサリが定位できるかどうかの境界線であると考えられる。

SI 曲線は、 u_* と個体数の関係に基づき決定し、HSI は、次式のように波の $u_* \text{SI}$ を加えて求めた。

$$\text{HSI} = \text{底質 SI} \times \text{水質 SI} \times \text{干出時間 SI} \times u_* \text{SI} \dots (2)$$

(3) 金沢八景海域への適用

改良した HSI モデルを再度金沢八景海域に適用した。図-9(b) に HSI と個体数との関係を示す。波の u_* を考慮していない図-9(a) と比較すると、HSI と個体数との線形性が極めて高くなつたことがわかる。これは、波の u_* をモデル変数に加えることで、潮下帯では水深の影響で波の u_* が小さくなり、平潟湾内や野島南側水路では波が進入しにくうことから波の u_* が小さくなり、HSI が小さくなつたことによる。

モデル変数に波の作用を考慮する事は、評価地点の調査でわかる底質などの特性に加え、海域全体の中に占める評価地点の環境特性を評価に組み込む事を意味する。波浪の場合には、周辺の地形と防波堤などの構造物が重要なとなる。例えば、沖波条件と水深が同じであっても、周辺地形や構造物などの影響で波が変形を受け、対象地

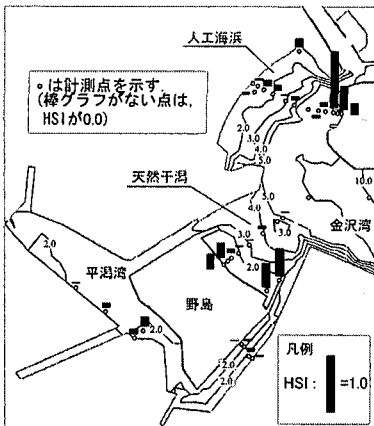


図-12 HSI の分布

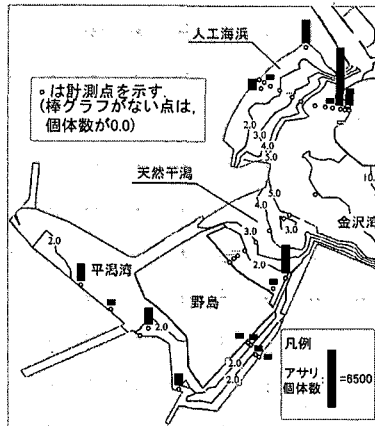


図-13 アサリ個体数の分布

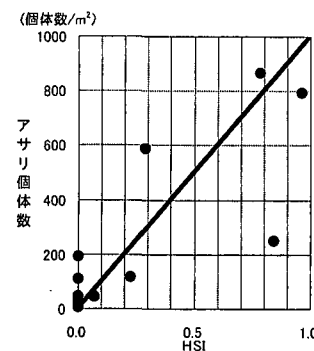


図-14 三番瀬の評価結果

点の波力は異なり、アサリの生息環境も異なる。さらに、アサリの生息環境への波浪の導入は、人工干渉の形状や配置を決定する上で極めて有効と考えられる。

図-12, 13 に、金沢八景海域における HSI と、実測した個体数（秋）の分布を示す。これより、HSI と個体数が良好に対応している。また、HSI は、この狭い海域でもかなり変動していることがわかる。従って、アセスメントなどで海域の生物環境を評価する場合、本モデルのようなきめ細かな評価が必要であると考えられる。

5. モデルの千葉県三番瀬への適用

モデルの汎用性を確かめるため、千葉県三番瀬に改良モデルを適用した。三番瀬は、東京湾奥に位置する開放性の浅場であり、一部が人工干渉になっている。この海域は、多様な生物が生息する東京湾内で残り少ない貴重な浅場である。千葉県では、1994～1996 年に底質や生物に関する詳細な現地観測を行い、そのデータ（千葉県、1998）を公開しており、干渉研究を行う上で貴重なデータを提供している。しかし、公開されているデータは、1994～1996 年度四季の平均値であるため、本モデルを適用するには問題があるが、本モデルの妥当性の判断資料にはなりうるものと考えられる。なお、水質及び干出時間については、アサリ個体数と関係づけたデータがなかったため、モデル変数は、底質及び波の u_* とした。

図-14 に、三番瀬における HSI と個体数の関係を示す。HSI と個体数は概ね線形な傾向になっている。このように本モデルは、海域特性が異なる三番瀬でも良好な評価結果を示しており、アサリ生息環境を評価するモデルとして、かなり汎用性が高いものと考えられる。

6. おわりに

本研究では、我国の干渉の代表生物であるアサリを対象に、HEP をベースにした生息地適性評価モデルを開発

し、その妥当性を確認した。主要な結論は以下のとおりである。

- (1) アサリの生息地環境因子は、底質（中央粒径、泥分、強熱減量、酸化還元電位）、水質（水温、塩分）、干出時間に加え、波の底面摩擦速度が重要である。
- (2) 以上の環境因子の SI モデルを作成し、各 SI の相互関係を考慮した HSI モデルを提案した。
- (3) 本モデルは金沢八景海域及び千葉県三番瀬においてアサリの生息量を評価できる事を確認した。

本研究から得られた知見は、単にアサリの生息環境の評価にとどまらず、今後の干渉の設計・施工技術に大いに役立つものと考えられる。

参考文献

- 井上 泰 (1980): 山口・大海湾におけるアサリの生態と環境について、水産土木, Vo. 16, No. 2, pp. 29-34.
- 柿野 純・中田喜三郎・西沢 正・田口浩一 (1991): 東京湾盤洲干渉におけるアサリの生息と波浪との関係、水産工学, Vol. 28, No. 1, pp. 51-55.
- 柿野 純・古畑和哉・長谷川健一 (1995): 東京湾盤洲干渉における冬季のアサリのへい死要因について、水産工学, Vol. 32, No. 1, pp. 2-32.
- 倉茂英次郎 (1957): アサリの生態研究、特に環境要素について、水産学集成, pp. 611-655.
- (社) 全国沿岸漁業振興開発協会 (1997): 増殖場造成計画指針—ヒラメ・アサリ編—(平成 8 年度版), p. 304.
- 新保裕美・田中昌宏・越川義功・棚瀬信夫・池谷 肇 (1999): 現地調査によるアサリ生息量と環境要因との関係の検討—神奈川県金沢湾・平潟湾を対象として—、海岸工学論文集, 第 46 卷, pp. 1216-1220.
- 高橋清孝・佐藤陽一・渡辺 競 (1986): アサリの生存限界に関する実験的検討、宮城県水産試験場研究報告, 11, pp. 44-58.
- 千葉県土木部企業庁 (1998): 「市川二期地区・京葉港二期地区計画に係る環境の現況について」(要約版), p. 336.
- Delft Hydraulics (1997): DELFT 3D-WAVE, Delft wave calculation model based on HSIWA, User Manual, Ver. 1.02.
- Division of Ecological Services, U. S. Fish and Wildlife Service (1980): Habitat Evaluation Procedures.